

VYŠETROVANIE KONEČNÝCH PLASTICKÝCH DEFORMÁCIÍ
KOVOV MIMOŠTRUKTURÁLNOU METÓDOU

Doc. Ing. Karol Polák CSc
SVŠT Strojnícka fakulta Bratislava

Anotácia

Mikroštrukturálna metóda vyšetrovania lokálnych plastických deformácií umožňuje získať predstavu o rozložení plastických deformácií v objeme telies bez porušenia spojitosťi. Spojitosť je vo väčšine známych metód porušená /metóda drôtková, kolíková, metódy delených objemov a pod./. Predmetná metóda využíva a aplikuje princípy mechaniky spojitych telies v mikroštruktúre kovov.

Základné predočky tejto metódy sú spojitosť štruktúr v tvaru guli, ktorá sa v procese plastickej deformácie mení na elipsoidy. Podľa veľkosti a smerov hlavných poloosí elipsoidu môžeme určiť smery a veľkosti hlavných deformácií.

Nehomogérne rozloženie plastických deformácií v procesoch pretvorenia je jav všeobecný. Naproti tomu homogénne rozloženie v procesoch pretvorenia je jav ojedinelý. Preto vyšetrovanie lokálnych napäťodeformačných stavov je základou podmienkou experimentálnych štúdií v teórii plasticity. Dobrou metódou vyšetrovania technologických konečných plastických deformácií kovov je mikroštrukturálna metóda [1,2].

1. Metodické poznámky

Predkladaná metóda si vyžaduje prácu prostredníctvom modelového kovu s rovnorodou, rovnomernou a spojitosou východiskovou mikroštruktúrou. Veľmi dobre sa osvedčili kovy typu Armco Fe, Behanit v normalizačne žižanom východiskovom stave. Tento východiskový stav má spoľhať tento prednoklad, t.j. že tvary veľmi blízke gule sa plastickou deformáciou menia na elipsoid, ktorého hlavné polooxy určujú smery a veľkosť hlavných deformácií. V rovine vyšetrovaného rezu pracujeme vlastne s kružnicou s polomerom gule a elipsou na ktorí sa zmení gula v dôsledku plastickej deformácie.

2. Študium literatúry

Na obr.1 je schéma prednokladanej čiastočky tvára kružnice ktorej priemer $d = 2R$, kde R - je polomer rezu gule so stredom O lubovoľne zvoleným bodom 1. Zvolme si pre určitý smer dva lubovoľné body $M_1 M_2$ ako aj ich myšlené polohy po plastickej deformácii $M'_1 M'_2$. Zvolený smer zviera s osou x uhol Θ pričom hlavná os elipsy zviera s osou x uhol Θ_0 . Označme si smer $M'_1 M'_2 = \varphi$ ktorý smer s hlavnou osou elipsy zviera uhol $/\Theta_0 - \Theta/$. N - je priesek ravnobežiek s hlavnou 2a a vedľajšou 2b osou elipsy ktoré prechádzajú bodmi $M'_1 M'_2$.

Z geometrie a obr.1 vyplýva sú tieto rovnice [1] :

$$M'_1 N = M'_1 M'_2 \cos / \Theta_0 - \Theta / = \varphi \cos / \Theta_0 - \Theta /$$

$$M'_1 N = M'_1 M'_2 \sin / \Theta_0 - \Theta / = \varphi \sin / \Theta_0 - \Theta /$$

z pretvorenia gule na elipsoid bude veľkosť úsečiek $/M'_1 N/$ pred deformáciou :

$$/M'_1 N/ = \frac{d}{2a} M'_1 R = \frac{d}{2a} \varphi \cos / \Theta_0 - \Theta /$$

$$\overline{M_2^2 N}_0 = \frac{d}{2b} M_2^2 N = \frac{d}{2b} \rho \sin / \theta_0 - \theta /$$

Počiatočná vzdialenosť $\rho_0 = \overline{M_1 M_2}$ určíme z rovnice :

$$\begin{aligned} \rho_0^2 &= \overline{M_1^2 M_2^2} / 2 = \overline{M_1^2 N}^2 + \overline{M_2^2 N}^2 = \\ &= \frac{d}{2a}^2 \rho^2 \cos^2 / \theta_0 - \theta / + \frac{d}{2b}^2 \sin^2 / \theta_0 - \theta / \rho^2 \end{aligned}$$

po vynásobení $\frac{1}{\rho^2}$ dostaneme :

$$\frac{\rho_0^2}{\rho^2} = \frac{d}{2a}^2 \cos^2 / \theta_0 - \theta / + \frac{d}{2b}^2 \sin^2 / \theta_0 - \theta /$$

$$\text{Nech je } K = \frac{d^2}{8a^2} + \frac{d^2}{8b^2} \quad a \quad E = \frac{d^2}{8a^2} - \frac{d^2}{8b^2}$$

dostaneme tvar :

$$\frac{\rho_0^2}{\rho^2} = K - E \cos 2 / \theta_0 - \theta / \quad /1/$$

Z toho vylýva, že smer úsečky medzi dvomi lubovoľnými bodmi materiálu ρ_0 na začiatku ku vzdialosti v určitom štádiu deformácie $\frac{\rho_0}{\rho}$ je definovaný parametrami K, E /resp. a, b / a uhlom θ_0 , ktorý určuje smery hlevných osí deformácie.

Takýmto postupom môžeme definovať deformačný stav určitej kovovej častice /zrna/.

Potom tri hlevné zložky deformácie budú :

$$\epsilon_x = \ln \frac{2a}{d} = - \frac{1}{2} \ln / K - E /$$

$$\epsilon_y = \ln \frac{2b}{d} = - \frac{1}{2} \ln / K - E / \quad /2/$$

$$\epsilon_n = \ln \frac{2c}{d} = \ln \frac{d^2}{4ab} = \frac{1}{2} \ln / K + E / + \frac{1}{2} \ln / K - E /$$

kde ϵ_n je zložka vo smere normály k povrchu a môžeme si ju vypočítať zo zákona konštantnosti objemu.

3. Určenie parametrov deformačného stavu

Vopred si musíme definovať východiskové mikroštruktúry modelového kovu s ohľadom na chemické zloženie a tepelné spracovanie.

3.1 Určenie ρ_0 z východiskovej mikroštruktúry

Vzdialenosť ρ_0 určujeme z fotografie mikroštruktúry tak, že na ňu prikladáme šablónu nakreslenú na priečladní fóliu /obr.2/. Táto fólia znázorňuje kružnicu vpísanú do mikroštruktúry s nakreslenými priemermi s odstupňovaním vo uhloch $\Theta = 15^\circ$ po celom obvode.

Vzdialenosť ρ_0 nájdeme ako dĺžku lísečky ktoré preťina vzdialenosť 10 zŕn, t.j. vzdialenosť zvoleného počtu zŕn. Tito vzdialenosť vyšetrujeme po celom obvode kružnice /obr.2/ a hodnoty zapíšeme do tab.I.

Z nameraných hodnôt vypočítame potom priemernú hodnotu

ρ_0 :

$$\rho_0 = \frac{1}{n} \sum_{i=1}^n \rho_i$$

Dalej už prednokladáme, že hodnota ρ_0 bude potom konštantou pre celý modelový kov.

3.2 Určenie ρ z deformačnej mikroštruktúry

Cez mikrofotografie prekladáme šablónu a určujeme hodnoty ρ_i /vzdialenosť 10 zŕn/ pre $i = 0 + 12$. Namerané hodnoty zapisujeme do tab.II a zároveň si vypočítame potrebné hodnoty pre ďalšie výpočty /pozri postup výpočtu v tab.II/.

3.3 Výpočet sumárnych súčiniek

Sumárne súčinitele pre ďalšie výpočty sú :

$$Q_K = \frac{\sum_{i=1}^n \rho_i^2}{\rho^2}$$

$$C_1 = \sum_{i=1}^n \cos 2 \theta$$

$$Q_A = \sum_{i=1}^n \frac{\rho_0^2}{\rho^2} \cos 2 \theta$$

$$C_2 = \sum_{i=1}^n \cos 4 \theta$$

ich výpočet veľmi zjednodušíuje tab. III.

3.4 Výpočet súčiniteľov

Rovnicu /1/ pre experimentálne určenie deformačného stavu z mikroštruktúry s ohľadom na horeuvedené súčinitele môžeme napísat v tvare [1] :

$$\frac{\rho_0^2}{\rho^2} = K + A \cos 2 \theta \quad /3/$$

Súčinitele K,A vypočítame podľa [1] takto :

$$K = \frac{Q_K / n + C_2 / - 2 Q_A C_1}{n / n + C_2 / - 2 C_1^2}$$

$$A = \frac{Q_K - n K}{C_1}$$

3.5 Priebeh funkcie

Priebeh funkcie /3/ zapíšeme najprv do tab. IV a potom vynášeme graf /pozri obr. 3/. Pomocou tab. IV alebo obr. 3 vyšetríme hodnoty :

$$/ \frac{\rho_0^2}{\rho^2} /_{\min} ; / \frac{\rho_0^2}{\rho^2} /_{\max} / 4ab /$$

Potom pomocou /4ab/ určíme hodnoty hlavných deformácií :

$$\varepsilon_1 = \pm \frac{1}{2} \ln / \frac{\rho_0^2}{\rho^2} / \text{min}$$

$$\varepsilon_2 = \pm \frac{1}{2} \ln / \frac{\rho_0^2}{\rho^2} / \text{max}$$

$$\varepsilon_3 = \pm / \varepsilon_1 + \varepsilon_2 / .$$

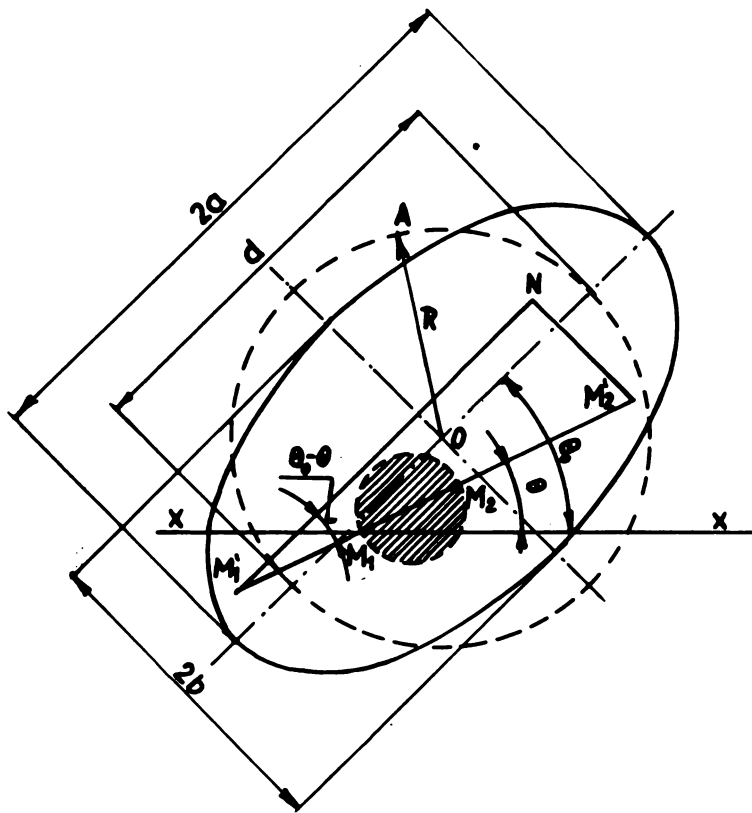
Pomocou hodnôt hlavných deformácií si potom určíme kvalitatívneho ukazovateľa stavu napäťosti a intenzitu deformácií.

4. Záver

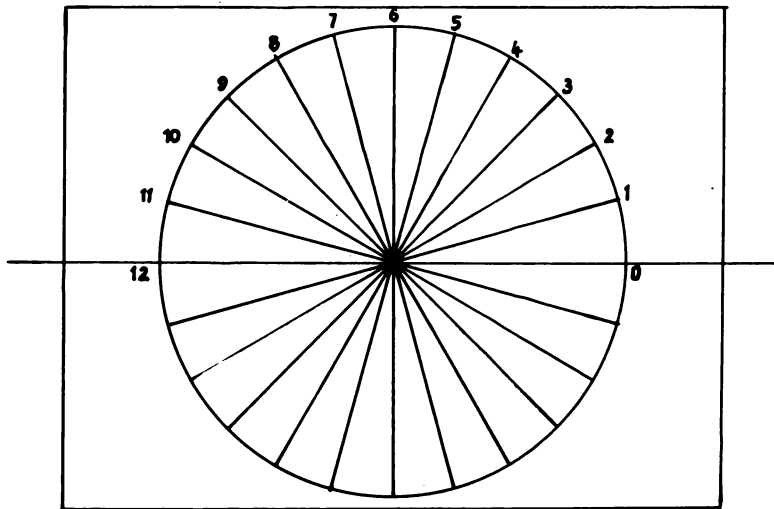
Táto metóda sa osvedčila pri vyšetrovaní rozloženia lokálnych plastických deformácií pri kvázistatickom a dynamickom behovaní. Rýchlosť tvárnenia sa pohybovali rádovo do 10^2 ms^{-1} . Išlo najmä o vyšetrenie spevnenia povrchových vrstiev na kontakt-ných plochách [3]. Spracovanie výsledkov v kap.3 sa v súčasnej dobe spracováva programovo pre SAPO, čo veľmi príčtu urýchli a dá požadovanú kultúru práce tejto zaujímavej metóde.

L I T E R A T Ú R A

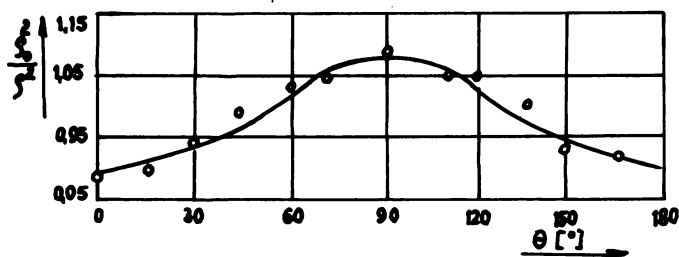
- [1] G.A. Smirnov-Aliajev, V.P. Čikidovskij: Eksperimentalnyje
isledovania v obrabotke metálov davleniem.
Mašinostrojenie, Leningrad 1972.
- [2] K. Polák: Teória a metodika tvérnenia, Alfa Bratislava 1972
- [3] K. Polák, J. Bošenský: Kovové materiály 3,1X - Bratislava
1971.
- [4] A.B. Fridman a kol.: Izučenie plastičeskoj deformacii i
razrušenia metodom nákrataných setok.
Oborongiz, Moskva 1962.



Obr.1. Schéma vyšetrovanej čiastočky kovu



Obr. 2. Šablóna pre určenie



Obr. 3 Graf závislosti $\frac{z^2}{2}$ / /

Tabulka I.

Číslo úseku	θ [°]	f mm
1	0	
2	15	
3	30	
4	45	
5	60	
6	75	
7	90	
...	...	
...	...	
...	...	

Tabulka II.

Postup výpočtu	Číslo úseku					Poznámka
	1	2	3	4	...	
ρ $\lg \rho$ $\lg \rho$ $\lg \rho / \rho_0$ $\lg \rho^2 / \rho^2$ ρ^2 / ρ^2 $\lg \rho / \rho$						konst. = ρ_0

Tabulka III.

Porad. číslo	ρ [mm]	θ [°]	ρ^2 / ρ^2	$\cos 2\theta$	$\frac{\rho^2}{\rho^2} \cos 2\theta$	$\cos 4\theta$
0	0	0				
1		15				
...		...				
12		180				
			q_K	c_1	q_A	c_2

Tabulka IV.

θ [°]	$^2\theta$ [°]	$\cos 2\theta$	K	$A \cos 2\theta$	$\frac{\rho^2}{\rho^2}$